

# Ti<sub>3</sub>AlC<sub>2</sub> 的性能与制备

艾桃桃 冯小明 李文虎

(陕西理工学院材料科学与工程学院,汉中 723003)

**文 摘** 介绍了 Ti<sub>3</sub>AlC<sub>2</sub>的性能特点,分类阐述了不同反应体系制备 Ti<sub>3</sub>AlC<sub>2</sub>的状况以及获得高纯 Ti<sub>3</sub>AlC<sub>2</sub>的合成方式。

**关键词** Ti<sub>3</sub>AlC<sub>2</sub>,性能,制备

## Performances and Preparation of Ti<sub>3</sub> AlC<sub>2</sub>

Ai Taotao Feng Xiaoming Li Wenhui

(Department of Materials Science and Engineering, Shaanxi University of Technology, Hanzhong 723003)

**Abstract** Performances and study of variant reaction systems for synthesizing ternary Ti<sub>3</sub>AlC<sub>2</sub> are introduced, which will conduce to seek the synthesis path of high content Ti<sub>3</sub>AlC<sub>2</sub>.

**Key words** Ti<sub>3</sub>AlC<sub>2</sub>, Performance, Preparation

## 0 引言

Ti<sub>3</sub>AlC<sub>2</sub>与 Ti<sub>3</sub>SiC<sub>2</sub>具有同型结构,其通式为  $M_{n+1}AX_n$  ( $n = 1 \sim 3$ ,  $M$  为过渡金属,  $A$  为第Ⅲ或Ⅳ主族元素,  $X$  为 C 或 N)<sup>[1]</sup>, 它属六方晶系, 空间群为  $D_{6h}^4 - P6_3/mmc$  (图 1), 其晶格参数  $a = 0.307\ 53$  nm 和  $c = 1.857\ 8$  nm, 具有低密度 (4.2 g/cm<sup>3</sup>)、低硬度、良好的导电性和导热性、优异的抗热震性、较高的弹性模量 (297 GPa) 和剪切模量 (124 GPa), 可以进行电火花切割加工, 具有高温塑性, 可用于高温加热器、点火装置及耐磨结构部件。因此, 研究和开发 Ti<sub>3</sub>AlC<sub>2</sub>具有重要的实际应用价值。

Ti-Al-C 体系具有两类典型的层状化合物: Ti<sub>3</sub>AlC<sub>2</sub> 和 Ti<sub>2</sub>AlC。根据 Ti-Al-C 不同温度时的三元相图<sup>[2]</sup>, Ti<sub>3</sub>AlC<sub>2</sub> 和 Ti<sub>2</sub>AlC 的稳定区很窄, 制备时只要成分配比稍有偏差, 便容易形成 TiC<sub>x</sub> 等杂质相。另外, 反应时间亦非常重要。过短的反应时间, 使得反应进行不彻底, 有多余的 C 残留, 同时生成 Ti<sub>3</sub>AlC<sub>2</sub>、Ti<sub>2</sub>AlC 和 TiC; 而过长的反应时间, 将导致 Ti<sub>3</sub>AlC<sub>2</sub>向低能态的 Ti<sub>2</sub>AlC 和 TiC 方向进行分解。因此, 成分配比、反应温度和时间的控制, 对于合成高纯 Ti<sub>3</sub>AlC<sub>2</sub>至关重要。目前, 针对 Ti<sub>3</sub>AlC<sub>2</sub>的制备展开了一系列的研究, 常用的方法有放电等离子烧结、自蔓延高温

合成、热压烧结等, 并取得了成果。本文首先介绍了 Ti<sub>3</sub>AlC<sub>2</sub> 的性能, 在介绍制备状况时主要从合成体系着手, 旨在为后续实验提供技术指导。

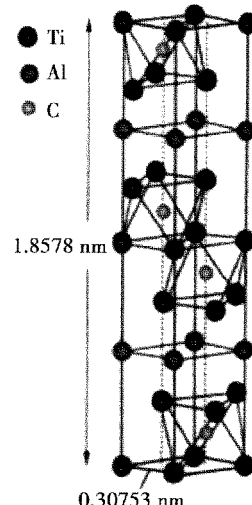


图 1 Ti<sub>3</sub>AlC<sub>2</sub>的晶胞

Fig. 1 Crystal cell of Ti<sub>3</sub>AlC<sub>2</sub>

## 1 Ti<sub>3</sub>AlC<sub>2</sub>的性能

### 1.1 力学性能

收稿日期:2009-02-25;修回日期:2009-05-11

基金项目:陕西省自然科学基础研究计划项目(2008E120)和陕西理工学院省级重点研究基地培育项目(SLGJD0806)

作者简介:艾桃桃,1981年出生,讲师,硕士,主要从事结构和功能陶瓷的研究。E-mail: aitaotao0116@126.com

$Ti_3AlC_2$ 的维氏硬度随所加载荷的变化而变化。Barsoum 等人<sup>[3]</sup>的研究表明,当加载压力达到 100 N 之后,  $Ti_3AlC_2$ 的维氏硬度趋于稳定值 3.5 GPa。Wang 等人<sup>[4]</sup>得到  $Ti_3AlC_2$ 的维氏硬度在 2~5 GPa 变化,当载荷为 0.5~3 N 时,维氏硬度值随载荷的增加而降低;当载荷增加到 10 N 时,维氏硬度趋于稳定值 2.7 GPa。诸多测试获得的维氏硬度值都比  $Ti_3SiC_2$  相应的维氏硬度值低。其原因归结于 Ti 原子与 Al 原子之间的结合力比 Ti 原子与 Si 原子之间的结合力要弱。

Barsoum 等人<sup>[3]</sup>测得  $Ti_3AlC_2$ 的压缩和弯曲强度分别为  $(560 \pm 20)$  和  $(375 \pm 15)$  MPa,且弯曲强度随载荷增加变化较小。同时研究了热冲击对  $Ti_3AlC_2$  弯曲强度和硬度的影响。当从 700°C 淬冷到室温时,强度从 375 MPa 降到 240 MPa;在 1 300°C 淬冷时,强度略有回升;低于 1 100°C 淬冷时,维氏硬度会随温度的升高而降低。Wang 等人<sup>[4~5]</sup>利用三点弯曲法测定  $Ti_3AlC_2$ 的弯曲强度为 340 MPa,平面应变断裂韧度为  $7.2 \text{ MPa} \cdot \text{m}^{1/2}$ 。并研究了热冲击对  $Ti_3AlC_2$  的弯曲强度的影响。800°C 淬冷时,弯曲强度将从 340 MPa 降到 220 MPa;当淬冷温度为 900°C 时,弯曲强度降到最低值 200 MPa;淬冷温度从 1 000°C 增加到 1 300°C 时,强度值从 220 MPa 升高到 320 MPa,说明  $Ti_3AlC_2$  具有良好的抗热震性。Tzenov 等人<sup>[3]</sup>的研究亦表明  $Ti_3AlC_2$  具有良好的耐热震性,超过 1 600°C 时,受压变形过程中伴随着明显的塑性,且此时对应着很高的压应力。Zhou 等人<sup>[6]</sup>测得  $Ti_3AlC_2$ 的弯曲强度和断裂韧度分别为  $(522 \pm 30)$  MPa 和  $(9.1 \pm 0.3)$   $\text{MPa} \cdot \text{m}^{1/2}$ 。数据的差异性与制备工艺和产物纯度密切相关。

## 1.2 热性能和电性能

$Ti_3AlC_2$ 是金属性导体,在 120~300 K 时,电阻率随着温度升高而呈线性增加<sup>[3~4,7]</sup>。在 50~120 K,电阻率与温度关系偏离线性。低于 50 K,电阻率保持在  $0.90 \times 10^{-7} \Omega \cdot \text{m}$ 。经测量  $Ti_3AlC_2$ 的电阻率为  $(2.9 \pm 0.15) \times 10^6 \text{ S/m}$ ,比  $Ti_3SiC_2$ 的低  $(4.5 \times 10^6 \text{ S/m})$ ,但比纯 Ti( $2.3 \times 10^6 \text{ S/m}$ )和 TiC( $1.6 \times 10^6 \text{ S/m}$ )的高。其电阻温度系数为  $(3.1 \sim 3.5) \times 10^{-3}/\text{K}$ ,比  $Ti_3SiC_2$ 的  $4 \times 10^{-3}/\text{K}$  低。

$Ti_3AlC_2$ 和  $Ti_3SiC_2$ 的线胀系数分别为  $9.0 \times 10^{-6}$  和  $9.2 \times 10^{-6}/\text{K}$ ,几乎相等。研究发现,  $Ti_3AlC_2$  在 4~10 K 时,热容随温度单调递增,具有典型的金属导体的特性<sup>[4,8]</sup>。

## 1.3 氧化性能

在惰性气氛环境,  $Ti_3AlC_2$ 至少在 1 300°C 以下是

稳定的,分解温度为 1 360°C<sup>[9]</sup>。Barsoum<sup>[10~11]</sup>研究了  $Ti_3AlC_2$ 在 800~1 100°C 的高温氧化行为,氧化过程由氧向内扩散和 Ti、Al 向外扩散控制,形成富  $Al_2O_3$  层对抗氧化性有利。Zhou 等人<sup>[12~14]</sup>研究了含有部分 TiC 的  $Ti_3AlC_2$ 在 500~1 400°C 的氧化行为,发现,氧化行为遵循抛物线规律,1 400°C 氧化 20 h 后,氧化增重为  $3.48 \times 10^{-2} \text{ kg/m}^2$ ,说明  $Ti_3AlC_2$ 具有优异的抗氧化能力;然而在 500~600°C,出现氧化异常增重现象,主要由于低温时氧化层主要以锐钛矿的形式存在,使氧化层内产生一定的热应力,导致裂纹产生,不能有效的形成致密的保护性氧化膜。

## 1.4 摩擦学性能

Zhai 等人<sup>[15]</sup>研究了含有极少量 TiC 的  $Ti_3AlC_2$ 的摩擦学特性,结果表明,在 60 m/s 的高速持续滑动摩擦条件下,其与低碳钢的摩擦系数仅为 0.1 左右,  $Ti_3AlC_2$ 的磨损率低于  $2.5 \times 10^{-6} \text{ mm}^3/\text{N} \cdot \text{m}$ ,由此可见  $Ti_3AlC_2$ 具有优异的摩擦学性能。

## 2 $Ti_3AlC_2$ 的制备研究

### 2.1 无添加剂时 Ti-Al-C 体系合成 $Ti_3AlC_2$

杨晨等人<sup>[16]</sup>不改变  $Ti_3AlC_2$  中 Ti、Al、C 的原子比,对 Ti-Al-C 混合粉进行机械合金化后合成了纯度约为 83% 的  $Ti_3AlC_2$  粉体,产物主要由球状晶粒 TiC 和片层状晶粒  $Ti_3AlC_2$  组成。可见,若严格按照 Ti:Al:C = 3:1:2 的比例,往往难以获得高  $Ti_3AlC_2$  含量的反应产物。诸多以 Ti-Al-C 体系合成  $Ti_3AlC_2$  的研究表明<sup>[17~18]</sup>,低熔点物质在高温条件下会挥发。因此,Al 的高温蒸发被认为是形成 TiC 杂质相的一个重要原因。为此,可以通过调节 Al 的含量以弥补高温时 Al 的挥发损失。郭俊明等<sup>[19]</sup>以 Ti:C = 3:2 为基础,研究了 Al 含量变化对产物相成分的影响。研究发现,当 Al 为 0.7 mol 时,燃烧产物主晶相是 TiC,  $Ti_3AlC_2$ 的衍射峰非常弱,由于 Ti 的过量,还出现了弱的 Ti 衍射峰;当 Al 在 1.0~1.3 mol 时,出现了  $Ti_3AlC_2$  和 TiC 的衍射峰,主要产物为  $Ti_3AlC_2$ ;当 Al 为 1.7 mol 时,燃烧产物主要是  $Ti_3AlC_2$ ,TiC 的衍射峰较弱,由于 Al 相对过量,所以出现了 Al 的衍射峰。此外,还出现了  $Ti_3AlC$  的衍射峰,但峰强极弱。最终得出 Al = 1.2 mol 时,  $Ti_3AlC_2$  的相对量达到最大。郭俊明等人<sup>[19]</sup>还讨论了燃烧合成机制:Ti 和 Al 首先反应生成 Ti-Al 熔融金属间化合物,Ti-Al 再直接参与反应生成  $Ti_3AlC_2$ <sup>[20~21]</sup>,所以,金属间化合物 Ti-Al 的生成是燃烧合成  $Ti_3AlC_2$  的关键之一。对于 Ti-Al 二元体系,只有当 Al 原子分数 >20% 时,才形成 Ti-Al 金属间化合物<sup>[22]</sup>。当 Al 原子分数 <1.2 mol 时,其原子分数 <20%,无法保障 Ti-Al 的形成,故而产物的纯度较低。

但即使如此,也不能完全避免 TiC 杂相的生成。有研究认为,适当偏离 3:1:2 的化学计量比,将 C 的摩尔比由 2 减少为 1.8 左右,对于抑制 TiC 杂质相的生成是有利的<sup>[3,23]</sup>。Peng 等<sup>[24]</sup>按照 Ti: Al: C = 3: 1.2 : 2 和 Ti: Al: C = 3: 1.1: 1.8 以热压技术成功合成了高纯 Ti<sub>3</sub>AlC<sub>2</sub>, 测试表明制备的 Ti<sub>3</sub>AlC<sub>2</sub> 维氏硬度为 2.7 GPa, 电导率为 8.2  $\mu\Omega \cdot m$ 。异于文献[19], Peng 的研究发现主要发生了两个反应: C + Ti = TiC 和 2TiC + Al + Ti = Ti<sub>3</sub>AlC<sub>2</sub>, TiC 作为晶种对于合成 Ti<sub>3</sub>AlC<sub>2</sub> 非常重要。

## 2.2 有添加剂时 Ti-Al-C 体系合成 Ti<sub>3</sub>AlC<sub>2</sub>

郭俊明等人<sup>[25]</sup>以 Ti: Al: C = 3: 1.1: 1.8 为基础, 然后通过添加 TiC, 研究 TiC 对相成分的影响。实验发现, 未添加 TiC 时, 燃烧产物主要为 TiC, Ti<sub>3</sub>AlC<sub>2</sub> 很少。随 TiC 含量的增大, 产物主要为 Ti<sub>3</sub>AlC<sub>2</sub>, TiC 则很少。可见, Ti<sub>3</sub>AlC<sub>2</sub> 的生成量随 TiC 在发生变化。热力学因素认为, 由于 Ti<sub>3</sub>AlC<sub>2</sub> 的分解温度在 1 633<sup>[2]</sup> ~ 1 673 K<sup>[3]</sup>, 稀释剂 TiC 的加入使得燃烧反应体系温度降低, 加入量愈多, 反应温度愈低, Ti<sub>3</sub>AlC<sub>2</sub> 的分解率也愈低, 愈有利于 Ti<sub>3</sub>AlC<sub>2</sub> 的生成。动力学因素认为, TiC 是生成 Ti<sub>3</sub>AlC<sub>2</sub> 的燃烧反应的关键中间物质, 它直接参加了生成 Ti<sub>3</sub>AlC<sub>2</sub> 的反应<sup>[20,24]</sup>, 未加 TiC 的 Ti-Al-C 燃烧反应体系, Ti 和 C 之间需要通过燃烧反应合成 TiC, TiC 的生成量相对于同时生成 Ti<sub>3</sub>AlC<sub>2</sub> 的需要量滞后; 另一方面, 燃烧反应体系温度降低速度极快, 当温度降低到低于生成 Ti<sub>3</sub>AlC<sub>2</sub> 所需的温度时, 不能生成 Ti<sub>3</sub>AlC<sub>2</sub>, 此时 TiC 为主要产物。当加入 TiC 时, 反应体系有较多的 TiC, 只要达到反应温度便可以直接反应生成 Ti<sub>3</sub>AlC<sub>2</sub>。此外, 加入 TiC 后, 反应体系温度的降低, 也使 Al 蒸发损失量减少, 从而有利于燃烧合成法反应生成 Ti<sub>3</sub>AlC<sub>2</sub>。郭俊明等人<sup>[25]</sup>还在添加 TiC 的同时加入一定量的晶种 Ti<sub>3</sub>AlC<sub>2</sub>, 研究发现, 加入 Ti<sub>3</sub>AlC<sub>2</sub> 晶种后, Ti<sub>3</sub>AlC<sub>2</sub> 的生成量明显增多。

目前, Ti<sub>3</sub>AlC<sub>2</sub> 的制备存在两个主要问题: 一是如何抑制 TiC 等杂质相的生成; 二是如何避免“热爆”的发生。Wang<sup>[26]</sup>尝试添加 B<sub>2</sub>O<sub>3</sub> 抑制“热爆”行为, 但 B<sub>2</sub>O<sub>3</sub> 会作为杂质留在产物内。艾明星等<sup>[27]</sup>通过加入 Sn, 以抑制“热爆”的产生。Sn 作为一种低熔点(231.85°C)金属单质, 一方面为反应体系提供液相环境; 另一方面由于液相 Sn 对 Ti 和 Al 都具有较好的润湿性, 而对 C 的润湿性较差。因此, 液相 Sn 会在 Ti、Al 颗粒表面形成液膜, 隔离了 C, 从而缓解了二者与 C 的反应, 避免了“热爆”的发生。更为重要的是, Sn 和 Al 同属于 M<sub>n+1</sub>AX<sub>n</sub> 元素中的 A 元素,<sup>211</sup>

相 Ti<sub>2</sub>SnC 与 312 相 Ti<sub>3</sub>AlC<sub>2</sub> 同属于 M<sub>n+1</sub>AX<sub>n</sub> 相物质, 具有相同的结构单元, 而且两种物质性质相似, 因此, Sn 的加入不但不会为体系引入杂质, 而且可能与 Ti<sub>3</sub>AlC<sub>2</sub> 固溶, 形成 Ti<sub>3</sub>Al<sub>1-x</sub>Sn<sub>x</sub>C<sub>2</sub>(x=0~1) 固溶体, 优化产物的性能。热力学分析亦表明, Sn 的加入, 使体系趋于生成 Ti<sub>3</sub>Al<sub>y-x</sub>Sn<sub>x</sub>C<sub>2</sub> 固溶体, 从而降低了 Ti<sub>3</sub>AlC<sub>2</sub> 的生成能。因此, 利用少量 Sn 的固溶作用合成高纯 Ti<sub>3</sub>AlC<sub>2</sub> 成为可能。

除此之外, 研究发现<sup>[28~29]</sup>, 掺杂 Al 有助于合成高纯 Ti<sub>3</sub>SiC<sub>2</sub>, 主要是由于 Ti<sub>3</sub>SiC<sub>2</sub> 和 Ti<sub>2</sub>AlC 及 Ti<sub>3</sub>AlC<sub>2</sub> 同属于 M<sub>n+1</sub>AX<sub>n</sub> 系列, 具有相似的层状结构。文献[30]以 2.0Ti - 1.1Al - 1.0C 为基础, 通过掺入 Si, 采用放电等离子烧结工艺合成 Ti<sub>2</sub>AlC/Ti<sub>3</sub>AlC<sub>2</sub>, 考察了 Si 对合成 Ti<sub>2</sub>AlC/Ti<sub>3</sub>AlC<sub>2</sub> 的影响。研究表明, 未掺杂 Si 时, 产物主要由 Ti<sub>2</sub>AlC 组成; 掺杂 Si 后, 产物由 Ti<sub>2</sub>AlC、Ti<sub>3</sub>AlC<sub>2</sub> 和 Ti<sub>3</sub>SiC<sub>2</sub> 组成。且随着 Al/Si 摩尔比的减小, Ti<sub>3</sub>AlC<sub>2</sub> 含量一直增加, 同时 Ti<sub>3</sub>SiC<sub>2</sub> 的含量也增加, Ti<sub>2</sub>AlC 的含量降低。说明掺杂 Si 促进了 Ti<sub>3</sub>AlC<sub>2</sub> 和 Ti<sub>3</sub>SiC<sub>2</sub> 的生成。Ti<sub>2</sub>AlC、Ti<sub>3</sub>AlC<sub>2</sub> 与 Si 掺杂系列的平均共价键键级表明, 在同一温度, 掺杂 Si 有利于 Ti<sub>3</sub>AlC<sub>2</sub> 的生成, 而不利于 Ti<sub>2</sub>AlC 的生成。Zhou 等人<sup>[31]</sup>的研究亦表明, 掺杂 Si 后, 无 TiC、SiC、Ti<sub>5</sub>Si<sub>3</sub> 和 Al<sub>4</sub>C<sub>3</sub> 杂质相存在, 产物的纯度较高, 而且因 Si 的固溶强化作用, 维氏硬度、弯曲和压缩强度都得到不同程度的提高。Wua 等人<sup>[32]</sup>利用中子衍射技术, 对 Ti<sub>3</sub>Si<sub>0.9</sub>Al<sub>0.1</sub>C<sub>2</sub> 固溶体进行了研究, 发现它们的晶胞比 Ti<sub>3</sub>SiC<sub>2</sub> 的稍大, 而比 Ti<sub>3</sub>AlC<sub>2</sub> 的稍小; 在合成 Ti<sub>3</sub>AlC<sub>2</sub> 时, 固溶体的形成有利于抑制杂质相 TiC 的生成。

## 2.3 其他体系

### 2.3.1 以 TiAl 为组分合成 Ti<sub>3</sub>AlC<sub>2</sub>

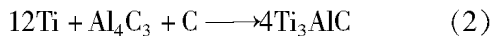
Pietzka 等<sup>[2]</sup>以 TiAl、Al<sub>4</sub>C<sub>3</sub> 和 C 为组分, 用反应烧结法首次合成 Ti<sub>3</sub>AlC<sub>2</sub>。由于合成块体较为疏松, 所以仅针对 Ti<sub>3</sub>AlC<sub>2</sub> 的晶体结构和晶格常数等物理参数进行了测定。Lopacinski 等<sup>[9]</sup>以 Ti 粉、C 粉和 TiAl 粉为组分, 利用燃烧合成技术合成 Ti<sub>3</sub>AlC<sub>2</sub>, 检测发现杂质相较多, 如 TiC 和 Ti-Al 金属间化合物。

以 TiAl 为组分合成 Ti<sub>3</sub>AlC<sub>2</sub>, 首先需要合成 TiAl 金属间化合物相, 由于 Ti-Al 系化合物较多, 如 TiAl、Ti<sub>3</sub>Al 和 TiAl<sub>3</sub> 等, 很难保障合成单一的 TiAl 相。因此, 后续以 TiAl 为初始组分的研究并未广泛展开。

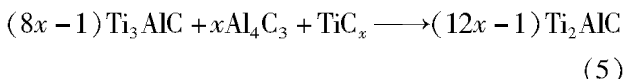
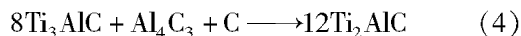
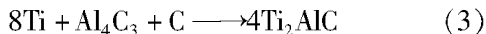
### 2.3.2 Ti/Al<sub>4</sub>C<sub>3</sub>/C 体系合成 Ti<sub>3</sub>AlC<sub>2</sub>

2000 年, Tzenov 等<sup>[3]</sup>采用热等静压(HIP)法将 Ti、Al<sub>4</sub>C<sub>3</sub> 和 C 在 1 400°C、70 MPa、16 h 的条件下合成了 Ti<sub>3</sub>AlC<sub>2</sub> 块体。但由于 Al<sub>4</sub>C<sub>3</sub> 在空气中易于水解, 导致含有 4% 体积分数 Al<sub>2</sub>O<sub>3</sub> 杂质相。Wu 等<sup>[33]</sup>利用

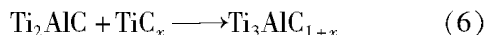
Ti/Al<sub>4</sub>C<sub>3</sub>/C 体系的反应于 1 417℃ 烧结后获得了含 78% (质量分数) 的 Ti<sub>3</sub>AlC<sub>2</sub>、19% (质量分数) 的 Ti<sub>2</sub>AlC 和 3% (质量分数) 的 TiC<sub>x</sub>, 并研究了体系的反应路径。在 800 ~ 1 400℃ 时:



随着温度的升高和时间的延长, 将形成中间相 Ti<sub>2</sub>AlC:



最后, Ti<sub>2</sub>AlC 和 TiC<sub>x</sub> 反应形成 Ti<sub>3</sub>AlC<sub>2</sub>:



总之, 以 Ti/Al<sub>4</sub>C<sub>3</sub>/C 体系合成 Ti<sub>3</sub>AlC<sub>2</sub> 并未取得理想的效果, 因杂质相的大量存在, 影响了产物的纯度与性能。

### 2.3.3 Ti<sub>2</sub>AlC-TiC 体系合成 Ti<sub>3</sub>AlC<sub>2</sub>

Wu 等人<sup>[33]</sup> 利用 Ti/Al<sub>4</sub>C<sub>3</sub>/C 体系合成 Ti<sub>3</sub>AlC<sub>2</sub>, 在反应过程中不仅出现了 Ti<sub>3</sub>AlC 和 TiC<sub>x</sub>, 而且还生成了低能态的 Ti<sub>2</sub>AlC, Ti<sub>3</sub>AlC 随后转变为 Ti<sub>2</sub>AlC。Kisi 等人<sup>[34]</sup> 先制备了 Ti<sub>2</sub>AlC, 然后利用 Ti<sub>2</sub>AlC 与 TiC 之间的反应合成了 45% Ti<sub>3</sub>AlC<sub>2</sub>, 其余为 Ti<sub>2</sub>AlC 和 TiC, 产物纯度依然较低。

### 2.3.4 TiC/Ti/Al/Si 体系合成 Ti<sub>3</sub>AlC<sub>2</sub>

徐学文等<sup>[35]</sup> 以 TiC 代替 C 粉和部分 Ti, 利用 TiC/Ti/Al/Si 体系合成 Ti<sub>3</sub>AlC<sub>2</sub>。研究表明, 在反应开始阶段, 因为 Al 的熔点低, Ti 与 Al 形成 Ti-Al 合金。随着烧结的进行, 由 TiC 生成的 TiC<sub>x</sub> 溶解于 Ti-Al 液相合金, 并在进一步的反应时析出 Ti<sub>3</sub>AlC<sub>2</sub>、Ti<sub>2</sub>AlC 及 Ti<sub>3</sub>AlC。对 TiC、Ti<sub>2</sub>AlC 和 Ti<sub>3</sub>AlC<sub>2</sub> 的结构分析表明, TiC 由 Ti<sub>6</sub>C 八面体连接构成, 在每一层 Ti<sub>6</sub>C 八面体中插入一层 Al 则形成 Ti<sub>2</sub>AlC, 在每两层 Ti<sub>6</sub>C 八面体中插入一层 Al 则形成 Ti<sub>3</sub>AlC<sub>2</sub>。当以 TiC 代替 C 和部分 Ti 时, 不仅为反应提供了直接的 Ti<sub>6</sub>C 八面体, 而且消除了 Ti 与 C 反应生成 TiC 时产生的大量的热, 减小了 Al/Si 的挥发, 利于 211 和 312 相的形成, 而掺杂 Si 则促进了 Ti<sub>3</sub>AlC<sub>2</sub> 的形成<sup>[30~31]</sup>。刘瑞雪等<sup>[36]</sup> 亦展开了同样的研究, 取得了理想的效果。

## 3 结语

Ti<sub>3</sub>AlC<sub>2</sub> 兼具金属和陶瓷的优异性能, 如类似金属的导热和导电性、抗热震性和可加工性; 类似陶瓷的抗氧化性、耐腐蚀性和耐高温性。特别地, 具有非同寻常的耐磨性和自润滑性。因此, 可替代可加工性陶瓷, 而具有良好的可加工性对陶瓷制品非常重要:

一方面可较低成本地加工试样, 方便性能检测; 另一方面, 可提高制品的抗损伤能力。此外, 高性能 Ti<sub>3</sub>AlC<sub>2</sub> 可以广泛应用于高温结构、受电摩擦、窑具、热交换器、电子及化学器件等领域。尽管 Ti<sub>3</sub>AlC<sub>2</sub> 前景广阔, 但 Ti<sub>3</sub>AlC<sub>2</sub> 的合成较为困难, 由于 Al 的高温挥发, 从而导致 TiC 等杂质相的存在, 极大地影响了 Ti<sub>3</sub>AlC<sub>2</sub> 的综合性能。为此, 在 Ti<sub>3</sub>AlC<sub>2</sub> 的合成方面进行了大量的研究。从几种制备体系的研究情况看, 以 Ti-Al-C 体系引入适当的添加剂容易获得高含量的 Ti<sub>3</sub>AlC<sub>2</sub>, 如引入 Si 可以促进 312 相的形成, 引入 Sn 既可抑制“热爆”的发生, 提高 Ti<sub>3</sub>AlC<sub>2</sub> 产物的纯度, 又可降低合成温度及拓宽合成温度范围。目前, 需要深入研究添加剂对 Ti-Al-C 体系及合成 Ti<sub>3</sub>AlC<sub>2</sub> 的影响机制。总之, 通过归类介绍 Ti<sub>3</sub>AlC<sub>2</sub> 的制备状况, 可为后续制备 Ti<sub>3</sub>AlC<sub>2</sub> 陶瓷提供技术指导, 也为制备高性能陶瓷提供了新思路。

与其他结构陶瓷相比较, 研究 Ti<sub>3</sub>AlC<sub>2</sub> 的时间较短。随着对 Ti<sub>3</sub>AlC<sub>2</sub> 的制备方法、结构及性能的研究, 将会大幅度的提高其综合性能, 尤其是通过添加不同性能特点的第二相制备多相陶瓷, 有望获得多功能性的高性能陶瓷。

## 参考文献

- 1 Barsoum M W. The  $M_{n+1}AX_n$  phases: a new class of solids; thermodynamically stable nanolaminates. *Progress in Solid State Chemistry*, 2000; 28: 201 ~ 281
- 2 Pietzka M A, Schuster J C. Summary of constitutional data on the Al-C-Ti system. *Journal of Phase Equilibria*, 1994; 15 (4): 392 ~ 400
- 3 Tzenov N V, Barsoum M W. Synthesis and characterization of Ti<sub>3</sub>AlC<sub>2</sub>. *J Am. Ceram. Soc.*, 2000; 83(4): 825 ~ 832
- 4 Wang X H, Zhou Y C. Microstructure and properties of Ti<sub>3</sub>AlC<sub>2</sub> prepared by the solid-liquid reaction synthesis and simultaneous in-situ hot pressing process. *Acta Materialia*, 2002; 50 (12): 3 141 ~ 3 149
- 5 Bao Y W, Chen J X, Wang X H et al. Shear strength and shear failure of layered machinable Ti<sub>3</sub>AlC<sub>2</sub> ceramics. *Journal of the European Ceramics Society*, 2004; 24(5): 855 ~ 860
- 6 Zhou A G, Wang C A, Huang Y. Synthesis and mechanical properties of Ti<sub>3</sub>AlC<sub>2</sub> by spark plasma sintering. *J Mater. Sci.*, 2003; 38: 3 111 ~ 3 115
- 7 Barsoum M W, Yoo H I, Polushina I K et al. Electrical conductivity, thermopower, and hall effect of Ti<sub>3</sub>AlC<sub>2</sub>, Ti<sub>4</sub>AlN<sub>3</sub> and Ti<sub>3</sub>SiC<sub>2</sub>. *Physical Review B*, 2000; 62(15): 10 194 ~ 10 198
- 8 Ho J C, Hamdeh H H, Barsoum M W et al. Low temperature heat capacities of Ti<sub>3</sub>Al<sub>1.1</sub>C<sub>1.8</sub>, Ti<sub>4</sub>AlN<sub>3</sub> and Ti<sub>3</sub>SiC<sub>2</sub>. *Journal of Applied Physics*, 1999; 86(7): 3 609 ~ 3 611
- 9 Lopacinski M, Puszynski J, Lis J. Synthesis of ternary titanium aluminum carbides using self-propagating high-temperature syn-

- thesis technique. *J Am. Ceram. Soc.*, 2001;84(12):3 051 ~ 3 053
- 10 Barsoum M W, Tzenov N, Procopio A et al. Oxidation of  $Ti_{n+1}AlX_n$  ( $n = 1 - 3$  and  $X = C, N$ ). II. Experimental results. *Journal of the Electrochemical Society*, 2001; 148 (8) : C551 ~ C562
  - 11 Finkel P, Barsoum M W, El Raghdy T. Low temperature dependencies of the elastic properties of  $Ti_4AlN_3$ ,  $Ti_3Al_{1.1}C_{1.8}$  and  $Ti_3SiC_2$ . *Journal of Applied Physics*, 2000;87:1 701 ~ 1 703
  - 12 Wang X H, Zhou Y C. Oxidation behavior of TiC-containing  $Ti_3AlC_2$  based material at 500 ~ 900°C in air. *Materials Research Innovations*, 2003;7(6) :381 ~ 390
  - 13 Wang X H, Zhou Y C. Oxidation behavior of  $Ti_3AlC_2$  at 1 000 ~ 1 400°C in air. *Corrosion Science*, 2003;45 (5) :891 ~ 907
  - 14 Wang X H, Zhou Y C. Oxidation behavior of  $Ti_3AlC_2$  powders in flowing air. *Journal of Materials Chemistry*, 2002;12 (9):2 781 ~ 2 785
  - 15 Zhai H X, Huang Z Y, Ai M X et al. Tribophysics properties of bulk polycrystalline  $Ti_3AlC_2$ . *J Am. Ceram. Soc.*, 2005; 88:3 270 ~ 3 274
  - 16 杨晨,贾树胜,金松哲等. 机械合金化制备  $Ti_3AlC_2$  陶瓷材料的研究. *稀有金属材料与工程*, 2007;36(Suppl. 3) :282 ~ 285
  - 17 Barsoum M W, El-Raghdy T. Synthesis and characterization of a remarkable ceramic:  $Ti_3SiC_2$ . *J Am. Ceram. Soc.*, 1996; 79(7):1 953 ~ 1 956
  - 18 Barsoum M W, El-Raghdy T. Processing and characterization of  $Ti_2AlC$ ,  $Ti_2AlN$  and  $Ti_2AlC_{0.5}N_{0.5}$ . *Metall and Mater. Trans. A*, 2000;31(7):1 857 ~ 1 864
  - 19 郭俊明, 陈克新, 周和平等. 不同铝含量对 Ti-Al-C 系燃烧合成  $Ti_3AlC_2$  粉体的影响. *复合材料学报*, 2004;21 (3):59 ~ 62
  - 20 Ge Zhenbin, Chen Kexin, Guo Junming et al. Combustion synthesis of ternary carbide  $Ti_3AlC_2$  in Ti-Al-C system. *Journal of the European Ceramic Society*, 2003;23:567 ~ 574
  - 21 Tomoshige R, Matsushita T. Production of titanium-aluminum-carbon ternary composites with dispersed fine TiC particles by combustion synthesis and their microstructure observations. *Journal of the Ceramic Society of Japan*, 1996;104(2):94 ~ 100
  - 22 Murray J L. Calculation of the titanium – aluminum phase diagram. *Metallurgical Transactions*, 1988;19A:243 ~ 247
  - 23 Wang X H, Zhou Y C. Solid-liquid reaction synthesis of layered machinable  $Ti_3AlC_2$  ceramic. *Journal of Materials Chemistry*, 2002;12:455 ~ 460
  - 24 Peng L M. Preparation and properties of ternary  $Ti_3AlC_2$  and its composites from Ti – Al – C powder mixtures with ceramic particulates. *J Am. Ceram. Soc.*, 2007;90(4):1 312 ~ 1 314
  - 25 郭俊明, 陈克新, 葛振斌等. 添加 TiC 和  $Ti_3AlC_2$  对燃烧合成  $Ti_3AlC_2$  粉体的影响. *无机材料学报*, 2003;18(1):251 ~ 255
  - 26 Peng C, Wang C, Qi L et al. Fabrication of  $Ti_3AlC_2$  powder with high-purity by pressureless sintering. *Materials Science Forum*, 2004;475 ~ 479:1 247 ~ 1 250
  - 27 艾明星. 钛铝碳及铜/钛铝碳复合材料. 北京交通大学博士学位论文, 2006
  - 28 Zhu J Q, Mei B C, Chen Y L. Preparation of  $Ti_3SiC_2$  with aluminum by means of spark plasma sintering. *Journal of Wuhan University of Technology: Materials Science Edition*, 2003;18 (1):37 ~ 40
  - 29 Zhu J Q, Mei B C. Effect of aluminum on synthesis of  $Ti_3SiC_2$  by spark plasma sintering (SPS) from elemental powders. *Journal of Materials Synthesis and Processing*, 2002; 10(6):353 ~ 358
  - 30 王萍, 梅炳初, 闵新民等. Si 掺杂放电等离子合成  $Ti_2AlC/Ti_3AlC_2$  材料及理论分析. *中国有色金属学报*, 2007;17 (4):511 ~ 517
  - 31 Zhou Y C, Chen J X, Wang J Y. Strengthening of  $Ti_3AlC_2$  by incorporation of Si to form  $Ti_3Al_{1-x}Si_xC_2$  solid solutions. *Acta Materialia*, 2006;54:1 317 ~ 1 322
  - 32 Wu Erdong, Wang Jingyang, Zhang Haibin et al. Neutron diffraction studies of  $Ti_3Si_{0.9}Al_{0.1}C_2$  compound. *Materials Letters*, 2005;59:2 715 ~ 2 719
  - 33 Erdong Wu, Erish Herold Kisi. Synthesis of  $Ti_3AlC_2$  from  $Ti/Al_4C_3/C$  studied by in situ neutron diffraction. *J Am. Ceram. Soc.*, 2006;89(2):710 ~ 713
  - 34 Kisi Erich H, Wu Erdong, Zobec Jennifer S et al. Interconversion of  $M_{n+1}AX_n$  phases in the Ti – Al – C system. *J Am. Ceram. Soc.*, 2007;90:1 912 ~ 1 916
  - 35 徐学文. 纳米层状三元化合物  $Ti_3AlC_2$  的制备、结构与性能研究. 武汉理工大学硕士学位论文, 2004
  - 36 刘瑞雪, 王晓霞. 热压烧结碳化铝钛材料的制备、结构与性能. *硅酸盐学报*, 2004;32(10):1 194 ~ 1 198

(编辑 吴坚)